

## 從不同海拔高地之向下太陽輻射通量觀測估計雲輻射驅動力

周立人<sup>1</sup> 林博雄<sup>1</sup> 魏聰輝<sup>2</sup> 賴彥任<sup>2</sup>

臺灣大學大氣科學系

<sup>2</sup>臺灣大學實驗林管理處

## 一、前言

Chou and Zhao (1997) 分析熱帶海洋大氣偶合實驗(TOGA/COARE)密集觀測期間(1992年11月~1993年2月)，晴空(clear-sky)和有雲(cloudy-sky)輻射傳遞模式和地面測站的向下太陽輻射通量(downward solar irradiance, DSI)，估計西太平洋暖池地區雲輻射驅動力(cloud radiative forcing, CRF)介於-79~-112 Wm<sup>-2</sup>之間，平均值為-99 Wm<sup>-2</sup>。Wang et al. (2004) 結合ERBE(Earth Radiation Budget Experiment)的DSI、ISCCP-C2的cloud cover和中國地面測站資料，以及AMIP-II模式模擬比對，指出華南長江流域地區5~6月夏季季風肇始期間，短波CRF可達到-110 Wm<sup>-2</sup>極值。Gautier and Landsfeld (1997) 以美國Atmospheric Radiation Measurement (ARM)之衛星資料及地面輻射觀測資料，估計Oklahoma在14個月期間，其中5月份的日平均太陽短波輻射CRF最大值可達200 Wm<sup>-2</sup>，不同月份之平均值則介於21.6與89.5 Wm<sup>-2</sup>之間。臺灣地區中央氣象局測站DSI數據由於品質問題，過去鮮少被引用探討，林等(2004)在整理修正上述觀測資料品質後，發現過去20年臺灣西岸都市地區DSI遞減大於高山地區，Chou et al. (2006)也利用晴空個案估計出台南都市的氣膠輻射驅動力(aerosol radiative forcing, ARF)約-39 Wm<sup>-2</sup>。截至目前臺灣地區尚未利用觀測資料來估算CRF。本研究利用新中橫公路同一山區(45 km\*15 km)不同海拔高度的地面DSI觀測資料和雲量和雲狀觀測，仔細篩選出clear-sky個案及cloudy-sky個案，來分析和估計該地區CRF的月際與年際變化，並透過clear-sky個案來估算DSI隨高度下降的遞減率。

## 二、資料與研究方法

本文使用中央氣象局測站日月潭、阿里山、玉山等氣候站逐日、逐時觀測資料(1995~2005年)，及臺灣大學實驗林微氣象站(和社)以及臺灣長期生態研究網(TERN)所架設的微氣象站(觀山、塔塔加草原區)逐日與逐時觀測資料(1996~2005年；姚等，1999)，來探討臺灣高地CRF的變化。上述測站海拔如表1所示，除日月潭地理位置較為偏北以外，其餘氣象站均在15-20 km以內的範圍，其中和社、觀山、塔塔加草原區位於新中橫公路上的不同高度，均在陳有蘭溪集水區範圍內，因此本文將之視為同一地區大氣垂直剖面來進行分析運用。

### (一) 雜質資料檢定

我們分析 1995-2005 年日月潭、阿里山、玉山雲量與日照率的月平均情況，三站呈現類似的趨

勢，雲量多而日照率低，雲量少日照率高，其中以玉山測站雲量最少，而日照率最高。如圖 1 所示，圖中顯示三站的相關性相當接近，雲量主觀觀測與日照率儀器觀測兩者特性一致，顯示雲量人工觀測資料在此一區域內用來做為CRF計算的可用性。DSI 與雲量的相關性分析也顯示三測站均呈現良好的負相關。值得注意的是，玉山測站在無雲條件下，DSI 變動可達 2 倍，由於其測站高度已超過大氣邊界層，氣膠濃度理應在乾淨大氣背景濃度範圍，因此我們推估其DSI 資料品質不穩定而無法採用。以阿里山 11 月份為例，當雲量較少時，DSI 變動較小，當雲量較多時，DSI 變動性較大（圖 2）。該圖的線性迴歸方程式斜率，代表著單位雲量對DSI 的影響。以 5、6 月份期間這一斜率平均值為  $-15.9 \text{ Wm}^{-2}$ ，與 Wang et al. (2004) 估計東亞夏季季風發展時期華南地區單位雲量的CRF值  $-15.5 \text{ Wm}^{-2}$  數值相近。

## (二)CRF 估算

由於臺大實驗林所屬微氣象站並無雲量、雲種、雲狀、視障及能見度的觀測，因此本研究以中央氣象局測站資料，篩選出 clear-sky 及 cloudy-sky 條件下 PSI 的日累積量，並定義：

同時透過雲量雲狀觀測記錄，來探討CRF在不同雲量、雲種之間的差異。本文選取資料的方法與程序如圖 1 所示，首先從阿里山測站逐日、逐時資料中篩選出clear-sky與cloudy-sky個案，在相同月份條件下估算(1)式數據。選定clear-sky個案來制定逐月的 $DSI_{clear}$ 數據是首要之務，過去諸多研究均以輻射傳遞模式來給定clear-sky條件下的理想 $DSI_{clear}$  數據，本研究則從觀測資料中設定條件進行篩選，並經其他方法進一步驗證。篩選clear-sky個案的流程如圖 1 右所示，首先以雲量(十分量小於 2)作為資料庫篩選條件，然後人工檢視當日DSI逐時變化是否吻合太陽天頂角變化呈現上午遞增、下午遞減趨勢，再比對不同年份相同月份個案的差異程度，以及不同月份個案的 $DSI_{clear}$ 大小是否符合赤緯的天文條件變動趨勢。

### (三) 晴空條件下 DSI 垂直變化之評估

(二) 有空隙率 30%、空氣變化的評估  
因臺大實驗林微氣象站分布於新中橫公路不同海拔高度，但無雲種、雲量、日照時數、視障及能見度觀測。所以我們以日月潭阿里山玉山等三處測站同日雲量為 0 的嚴格條件，篩選出 clear-sky 個案日期，再以和社、觀山、塔塔加草原區逐時 DS1 資料，來分析這一全天晴空條件下 DS1 在不同高度的數據。為避免高山地區直射易受山地坡向、植被等環境因素影響，因此我們僅討論太陽天頂角最小的中午時

段(12-13時)來分析DSI隨高度變化，並以百公尺為單位計算DSI的垂直梯度。

### 三、分析結果與討論

#### (一) CRF的頻次分析

依據圖4的月際CRF數值與發生頻率直方圖所示，CRF月平均值1~4月逐月增加，各月最高頻次的CRF值也呈類似趨勢，7月份的CRF月平均值達到最大( $176.8 \text{ Wm}^{-2}$ )，隨後再逐月減少，單日CRF最大值可達 $340 \text{ Wm}^{-2}$ 以上。9~12月CRF月平均值逐月減少，各月最高頻次的CRF值也逐漸左偏，而12月為CRF月平均值為最小的月份。

#### (二) CRF的月際與年際變化

資料分析顯示CRF平均值月際變化在 $-72 \text{ Wm}^{-2}$ ~ $-177 \text{ Wm}^{-2}$ 之間，而乾季月份(9月至隔年1月)CRF之年際變化相對較小。月際之間單位雲量的CRF值則介於 $-20.2 \text{ Wm}^{-2}$ ~ $-31.4 \text{ Wm}^{-2}$ ，7月份仍有單位雲量CRF值之最大值。年際平均的CRF逐月變化有季節趨勢，並且CRF夏季大於冬季。若扣除雲量因素則單位雲量的CRF值月際變化相對縮小，由此可見雲量為影響CRF的主要因素(圖5)。

#### (三) CRF的個案探討(雲種的影響及小時平均的CRF估計)

圖6是有雲個案(3/17,2005)及晴空個案(3/6,2005)的DSI的逐時變化，資料顯示當日從早到晚均存在著一個穩定的DSI差值；當日14時出現CRF最大值 $-456 \text{ Wm}^{-2}$ ，由觀測資料顯示高雲Ci與低雲Sc的重疊效應，為出現CRF最大值的主因。本個案中也初步分析了當日14時因層積雲所造成CRF變化亦可達 $-303 \text{ Wm}^{-2}$ 。由上述個案可知，CRF的逐時變動頗大，主要是因為雲參數(雲量、雲狀、雲厚等)變因複雜，釐清這些雲參數對CRF的影響程度，是未來努力的方向。

#### (四) 晴空條件下，DSI的垂直梯度

1995~2005年期間日月潭、阿里山、玉山三地同日晴空無雲個案共有8個，其中2003年之後的4個個案三地均具有完整的DSI資料，這恰好與和社、觀山、塔塔加草原區完整資料期間相符，故本研究將以這4個案作為探討。個案顯示不同晴空日期DSI的逐時變化都有DSI隨海拔高度而增加的共同點。表2顯示在4個不同日期中午時刻，在不同高度層的DSI垂直梯度；就個案平均而言，晴空下DSI的變化程度，約為百公尺 $4.8 \text{ Wm}^{-2}$ ，2003/12/29個案顯示較

高的DSI垂直梯度為百公尺 $7.5 \text{ Wm}^{-2}$ ，2005/3/6個案則顯示較小垂直梯度(約為百公尺 $2.7 \text{ Wm}^{-2}$ 左右)。同時上層高度DSI的變化程度(約百公尺 $4.26 \text{ Wm}^{-2}$ )較下層高度(約百公尺 $5.35 \text{ Wm}^{-2}$ )小。就2005/3/6個案(晴朗乾燥乾淨大氣)而言，DSI垂直梯度 $2.8 \text{ Wm}^{-2}$ 是2003/12/29個案 $7.52 \text{ Wm}^{-2}$ 的 $1/3$ ，此一結果與Izjomon and May (2002)針對德國西南部山區的觀測研究結果相近。

### 參考文獻

- 林博雄, 劉紹臣, 馮欽賜, 周宗玄, 葉瑞元, 2004：臺灣地區太陽輻射量之校驗與長期趨勢。第八屆全國大氣科學研討會，桃園龍潭，。
- 姚榮鼎、陳信雄、魏聰輝，1999：塔塔加地區不同坡向日射量分布特性之探討。國立臺灣大學農學院實驗林研究報告，13，129-144。
- Chou, M. D. and W. Zhao, 1997: Estimation and model validation of surface solar radiation and cloud radiative forcing using TOGA COARE measurements. *J. Clim.*, 4, 610-620.
- Chou, M. D., P. H. Lin, P. L. Ma and H. J. Lin, 2006: Effects of aerosols on the surface solar radiation in a tropical urban area. *J. Geophys. Res.* 111, D15207, doi:10.1029/2005JD006910.
- Gautier, C., and Landsfeld, M., 1997: Surface solar radiation flux and cloud radiative forcing for the Atmospheric Radiation Measurement (ARM) Southern Great Plains (SGP): a satellite, surface observations, and radiative transfer model study. *J. Atmos. Sci.*, 54, 1289-1307.
- Izjomon, M. G. and H. Mayer, 2002: Characterisation of the shortwave radiation regime for locations at different altitudes in south-west Germany. *Climate Research*, 20, 203-209.
- Wang, W. C., Gong, W., W.-S. Kau, C.-T., Chen, H.-H., Hsu, and C.-H., Tu, 2004: Characteristics of cloud radiation forcing over east China. *J. Clim.*, 17, 845-853.

表1：本文使用的測站海拔高度與設站日期。

站名	海拔	設站日期
和社測站	777m	1941
日月潭測站	1015m	1941
觀山測站	1700m	1996/1/18
阿里山測站	2413m	1933
塔塔加草原區	2655m	1997/2/13
玉山測站	3845m	1943

表 2：新中橫地區晴空個案DSI之垂直梯度，單位為每 100 公尺  $\text{Wm}^{-2}$ 。

Date	LST	2655-777m	2655-1700m	1700-777m
2003/2/10	12	5.78	1.75	9.89
2003/2/10	13	5.98	2.37	9.68
2003/12/29	12	7.45	8.74	6.12
2003/12/29	13	7.59	7.54	7.65
2004/12/15	12	3.40	4.12	2.66
2004/12/15	13	2.67	3.22	2.11
2005/3/6	12	2.25	2.43	2.06
2005/3/6	13	3.29	3.92	2.66
Average		4.80	4.26	5.35
Max.		7.59	8.74	9.89
Min.		2.25	1.75	2.06

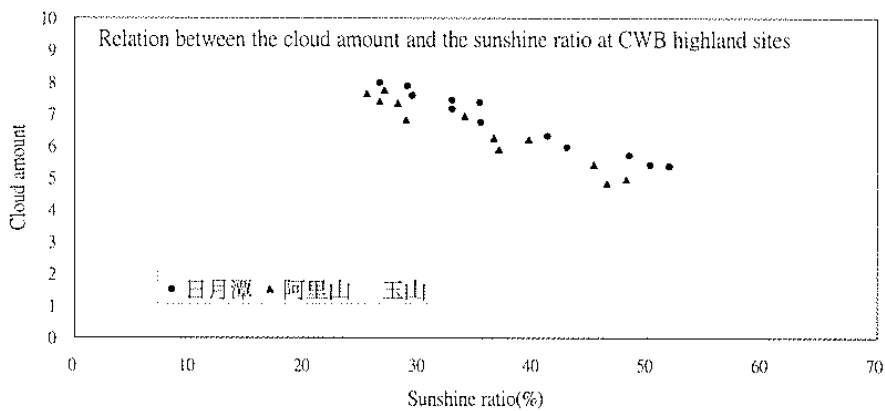


圖 1：1995-2005 年日月潭、阿里山、玉山雲量與日照率的月平均之相關性分析。

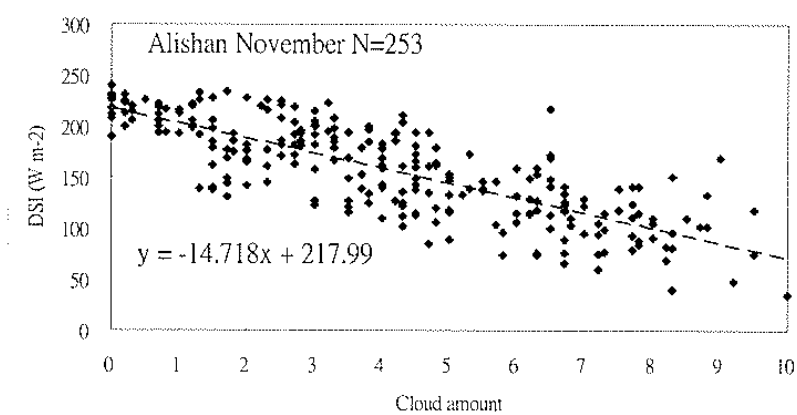


圖 2：阿里山 DSI 與雲量的迴歸分析，粗虛線表線性趨勢。

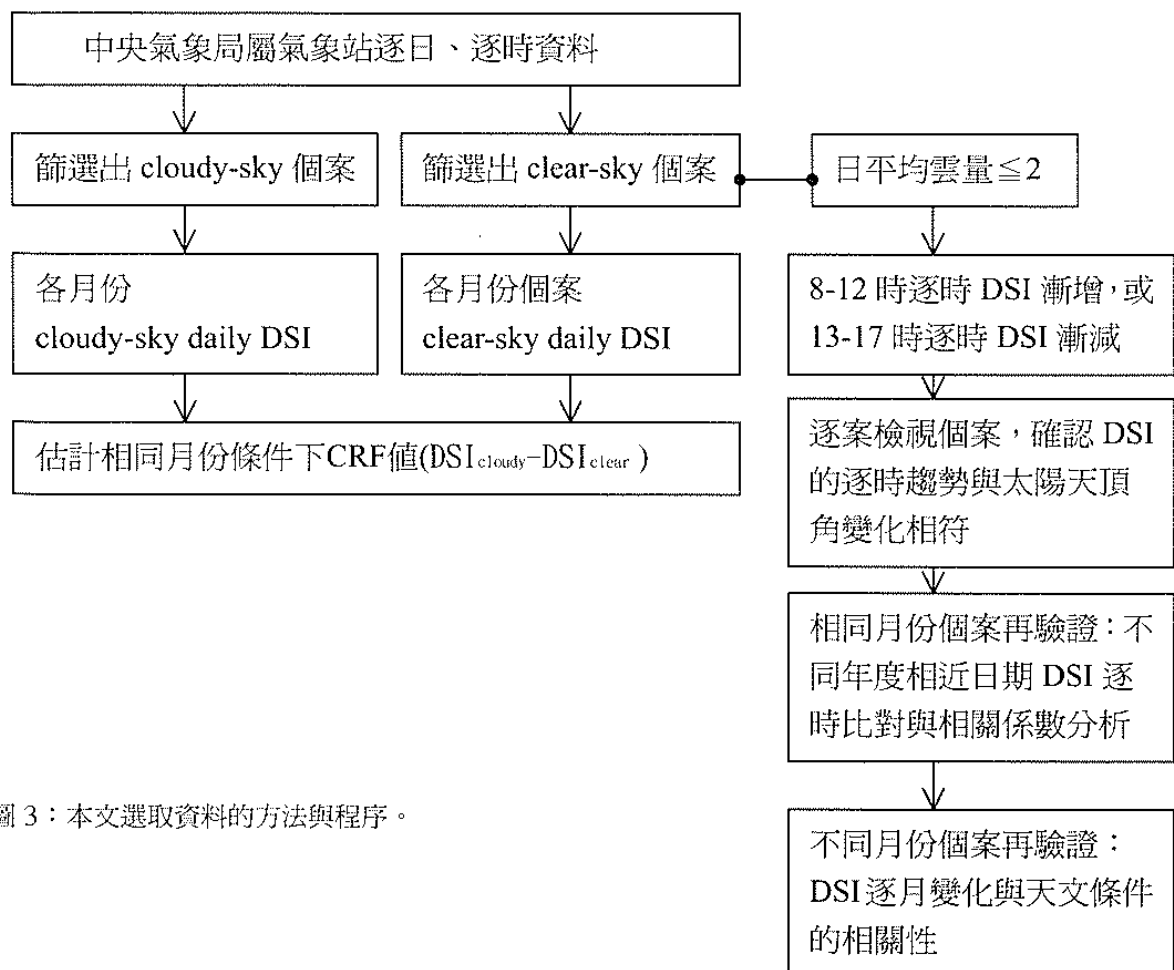


圖 3：本文選取資料的方法與程序。

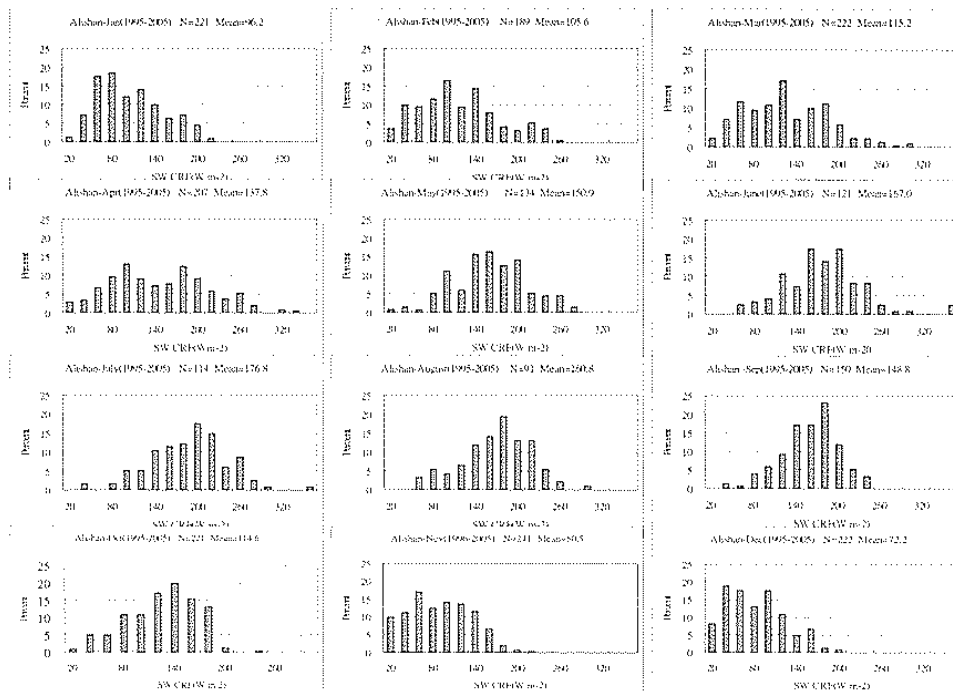


圖 4：阿里山CRF值與頻次直方圖分析，縱坐標是發生頻率百分比，單位是%，橫坐標是日均量之CRF值，單

位是  $\text{Wm}^{-2}$ 。

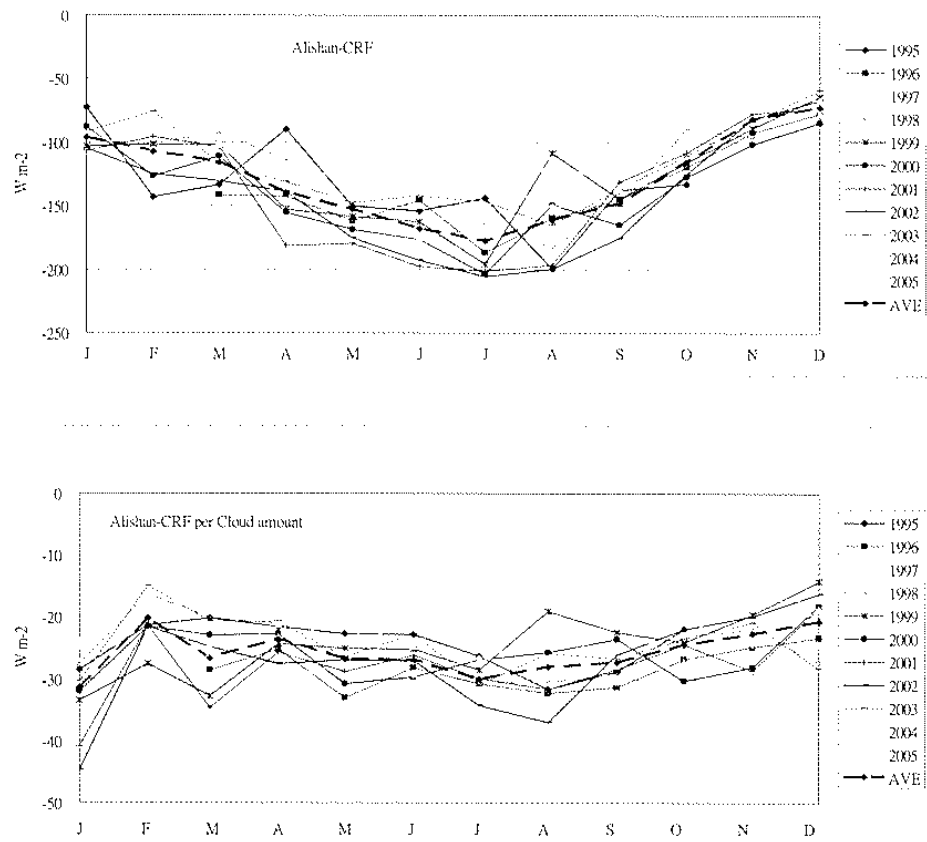


圖 5：上圖為阿里山CRF值月際與年際變化，下圖是單位雲量CRF值月際與年際變化，縱坐標是CRF，單位是  $\text{Wm}^{-2}$ ，橫坐標是 1 月至 12 月，粗虛線為年際平均值。

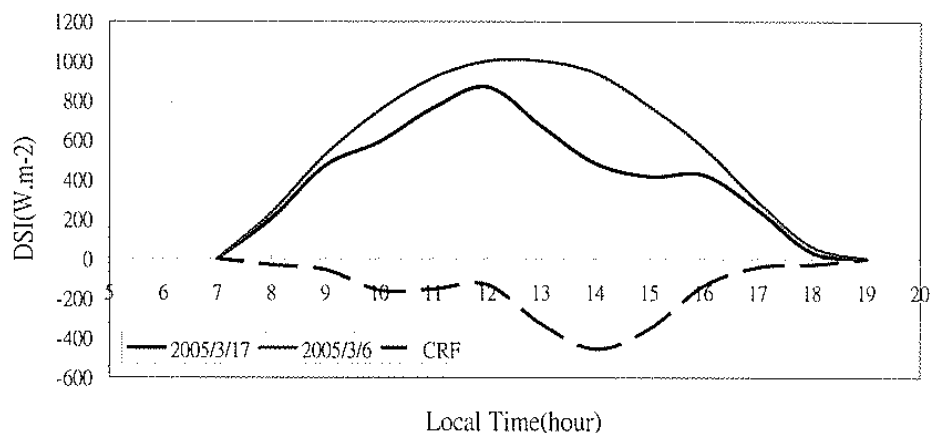


圖 6：晴空個案 2005/3/6 及有雲個案 2005/3/17，DSI 與 CRF 的逐時變化，粗虛線為 CRF 值，實線則為 DSI 值。